

УДК 535.51

В. А. Швец

(Новосибирск)

### ОПРЕДЕЛЕНИЕ ПРОФИЛЕЙ ОПТИЧЕСКИХ ПОСТОЯННЫХ НЕОДНОРОДНЫХ СЛОЕВ ИЗ ЭЛЛИПСОМЕТРИЧЕСКИХ ИЗМЕРЕНИЙ IN SITU

Проанализирована система уравнений, связывающих изменение эллипсометрических параметров, измеряемых в процессе синтеза оптически неоднородного слоя, с распределением показателей преломления и поглощения по толщине. Решена обратная задача эллипсометрии для слабо неоднородных слоев и предложен алгоритм для определения профилей оптических постоянных. Проведено численное моделирование и показана эффективность данного алгоритма для неоднородных слоев CdHgTe на CdTe и AlGaAs на GaAs.

**Введение.** Метод эллипсометрии *in situ* успешно используется для контроля технологии синтеза полупроводниковых и диэлектрических слоев [1—5]. Измерения, проводимые на автоматическом эллипсометре в процессе формирования слоя, позволяют получить практически непрерывную зависимость эллипсометрических параметров  $\psi$  и  $\Delta$  от времени, которая в координатах  $\psi - \Delta$  имеет в общем случае вид сворачивающейся спирали. Для интерпретации этих зависимостей пользуются чаще всего моделью одного [1, 3] или двух [5] однородных слоев, подбирая их оптические постоянные и толщины таким образом, чтобы удовлетворить экспериментальным значениям  $\psi$  и  $\Delta$ .

В том случае, если формируется заведомо неоднородный по толщине слой, такие простые модели не могут быть использованы и возникает задача определения зависимостей оптических постоянных: показателей преломления  $n(z)$  и поглощения  $k(z)$  ( $z$  — координата, направленная по нормали к поверхности). Решение этой задачи не представляет сложности, если известны  $\psi$  и  $\Delta$  как функции  $z$  [6, 7]. К сожалению, в реальном эксперименте эллипсометрические параметры являются функцией времени и их зависимость от  $z$  неизвестна.

В настоящей работе рассматривается возможность восстановления профилей оптических постоянных  $n(z)$  и  $k(z)$  по экспериментальным кривым  $\psi(t)$ ,  $\Delta(t)$ , где  $t$  — время или любой другой параметр, не связанный явно с координатой  $z$ .

**Основные соотношения.** Изменения эллипсометрических параметров при непрерывном увеличении толщины  $z$  неоднородного слоя описываются известной системой дифференциальных уравнений [7]:

$$\frac{1}{\rho} \frac{d\rho}{dz} = \beta(1 - N^2) \left( 4\cos^2\varphi + \frac{(1 + R_p)^2}{R_p} \left( \frac{\sin^2\varphi}{N^2} - \cos^2\varphi \right) - \frac{(1 + R_s)^2}{R_s} \right) \equiv F_1(N), \quad (1)$$

$$\frac{dR_{p,s}}{dz} = \frac{4\pi i}{\lambda} \sqrt{N^2 - \sin^2\varphi} \frac{(R_{p,s} - r_{p,s})(r_{p,s}R_{p,s} - 1)}{1 - r_{p,s}^2}. \quad (2)$$

Здесь  $\beta = \frac{\pi i}{\lambda \cos\varphi}$  и введены общепринятые обозначения:  $\rho = \tan\psi \exp(i\Delta)$ ;  $\varphi$  — угол падения света, отсчитанный от нормали к поверхности образца;  $\lambda$  —

длина волны света;  $R_{p,s} = R_{p,s}(z)$  — комплексные коэффициенты отражения, характеризующие систему подложка — неоднородный слой толщины  $z$ ; индексы  $p$  и  $s$  соответствуют поляризации света в плоскости падения и по нормали к ней;  $N = N(z) \equiv n(z) - ik(z)$  — распределение комплексного показателя преломления по толщине неоднородного слоя;  $r_{p,s} = r_{p,s}(z)$  — коэффициенты отражения Френеля для  $p$ - и  $s$ -поляризаций, которые зависят от  $N$  и выражаются общеизвестными соотношениями (см., например, [8]).

Согласно уравнению (1) приращение комплексного эллипсометрического параметра  $d\rho(z)$  при заданных значениях  $R_p$  и  $R_s$  является функцией текущего значения  $N(z)$ . Продифференцируем обе части этого уравнения по  $z$ . При этом в левой части  $1/\rho$  внесем под знак дифференциала, а в правой части учтем, что производные  $dR_p/dz$  и  $dR_s/dz$  выражаются соотношениями (2). В результате получим

$$\frac{d^2(\ln\rho)}{dz^2} = \beta \left\{ \beta(1 - N^2) \left( \frac{1 - R_p^2}{R_p^2} W_p + \frac{1 - R_s^2}{R_s^2} W_s \right) + WN' \right\} \equiv F_2(N, N'), \quad (3)$$

где

$$W_p = (N^2 \cos^2 \varphi - \sin^2 \varphi) \left( (R_p - 1)^2 \cos^2 \varphi - (R_p + 1)^2 \frac{N^2 - \sin^2 \varphi}{N^4} \right),$$

$$W_s = (R_s - 1)^2 \cos^2 \varphi - (R_s + 1)^2 (N^2 - \sin^2 \varphi),$$

$$W = 2N \left( \frac{(1 + R_s)^2}{R_s} + \frac{(1 - R_p)^2}{R_p} \cos^2 \varphi \right) - \frac{2 \sin^2 \varphi}{N^3} \frac{(1 + R_p)^2}{R_p},$$

а через  $N'$  обозначена производная от  $N$  по  $z$ . Из (3) следует, что вторая производная от  $\rho$  зависит от функции  $N$  в данной точке и от ее производной  $N'$ . Последовательное дифференцирование выражения (3) приводит к уравнениям вида

$$\frac{d^m(\ln\rho)}{dz^m} = F_m(N, N', N'', \dots, N^{(m-1)}), \quad m = 3, 4, \dots \quad (4)$$

Здесь  $F_m$  — явно выраженные функции перечисленных параметров, а через  $N', \dots, N^{(m)}$  обозначены соответствующие производные профиля  $N(z)$ . Согласно определению  $\rho$  имеем  $\ln(\rho) = \ln(\operatorname{tg}\psi) + i\Delta \equiv \xi + i\Delta$  (здесь для удобства введена новая переменная  $\xi = \ln(\operatorname{tg}\psi)$ ). Поскольку зависимость  $\rho(z)$  неизвестна, перейдем в уравнениях (1), (3), (4) к рассмотрению зависимости  $\Delta(\xi)$ , заданной в параметрическом виде через  $z$  и, таким образом, исключим  $z$ . Пользуясь правилом дифференцирования параметрически заданных функций, получим следующую систему уравнений:

$$\begin{cases} \frac{d\Delta}{d\xi} = -i \frac{F_1(N) - F_1^*(N)}{F_1(N) + F_1^*(N)} \equiv G_1(N), \\ \frac{d^2\Delta}{d\xi^2} = 4i \frac{F_1(N)F_2^*(N, N') - F_1^*(N)F_2(N, N')}{(F_1(N) + F_1^*(N))^3} \equiv G_2(N, N'), \\ \dots \\ \frac{d^m\Delta}{d\xi^m} = G_m(N, N', N'', \dots, N^{(m-1)}). \end{cases} \quad (5)$$

Символом «\*» в уравнениях (5) обозначены комплексно-сопряженные величины. Эти соотношения представляют собой систему вещественных алгебраических уравнений для определения  $N$  и производных  $N', N'', \dots, N^{(m-1)}$ . В отличие от (1), (3), (4) левые части уравнений (5) определяются из экс-

перимента и могут считаться известными. Элементарный подсчет показывает, что при любом количестве уравнений число неизвестных оказывается вдвое больше, и, таким образом, система уравнений (5) не замкнута. Это значит, что для произвольного профиля  $N(z)$  нельзя найти однозначного решения.

Задача, однако, существенно упрощается, если относительно зависимости  $N(z)$  известно, что  $N^{(m)} \equiv 0$  при  $m \geq m_0$  (т. е.  $N(z)$  — полином степени  $m_0 - 1$ ). В этом случае добавление новых уравнений в (5), начиная с  $m_0 + 1$ -го, не увеличивает числа неизвестных и всегда можно выбрать достаточное их количество, чтобы система оказалась замкнутой. Если в некоторой точке  $z = z_0$  известны коэффициенты отражения  $R_p$  и  $R_s$ , то из (5) можно численно определить значение  $N$  и всех производных  $N', N''$  и т. д. в данной точке и таким образом восстановить искомый профиль  $N(z)$  по всей толщине слоя.

В случае произвольной зависимости  $N(z)$  рассматриваемая задача может быть решена, если  $N(z)$  достаточно точно аппроксимируется полиномиальной функцией. Следует иметь в виду, что при последовательном дифференцировании экспериментальной кривой  $\Delta(\psi)$  с увеличением порядка производной резко возрастает влияние случайных ошибок эксперимента. Поэтому целесообразно разбить весь неоднородный слой на интервалы и аппроксимировать  $N(z)$  внутри каждого интервала полиномом более низкой степени. Последовательно определяя параметры искомого профиля внутри каждого интервала, можно восстановить  $N(z)$  на всем исследуемом участке.

Рассмотрим простейший случай. Пусть зависимость  $N(z)$  такова, что в уравнениях (5) можно пренебречь всеми производными и считать внутри каждого интервала  $N(z)$  постоянной величиной. Такое допущение справедливо, если второе слагаемое в фигурных скобках выражения (3) много меньше первого. Отсюда легко получить условие применимости данного приближения:

$$\left| \frac{dN}{dz} \right| \ll \frac{\pi |N|}{\lambda} \alpha, \quad (6)$$

где  $\alpha \sim 1$  — параметр, зависящий от коэффициентов отражения  $R_{p,s}$  и угла падения света  $\varphi$ .

Найдем погрешности определения оптических постоянных  $\delta n$  и  $\delta k$ , обусловленные тем, что при решении уравнений (5) в  $G_2$  принимаем  $N' = 0$ . Представим  $N'$  через производные  $n'$  и  $k'$ :  $N' = n' - ik'$ . Рассматривая правые части первых двух уравнений (5) как функции  $n, k, n', k'$ , приравняем их полные вариации нулю:

$$\begin{cases} \frac{\partial G_1}{\partial n} \delta n + \frac{\partial G_1}{\partial k} \delta k = 0, \\ \frac{\partial G_2}{\partial n} \delta n + \frac{\partial G_2}{\partial k} \delta k - \frac{\partial G_2}{\partial n'} n' - \frac{\partial G_2}{\partial k'} k' = 0. \end{cases} \quad (7)$$

Из системы линейных уравнений (7) несложно определить  $\delta n$  и  $\delta k$ , задавая значения  $n', k'$ . В первом порядке приближения погрешности  $\delta n$  и  $\delta k$  пропорциональны  $n', k'$ . На рис. 1 приведены рассчитанные согласно (7) значения искомых погрешностей как функции координаты  $z$ . Параметры структуры, для которой проведен расчет, следующие: оптические постоянные подложки  $n_0 = 3, k_0 = 0,20$ ;  $n(z) = 3,65 + 0,12z/\lambda$ ,  $k(z) = 0,77 + 0,06z/\lambda$ ;  $\varphi = 70^\circ$ ,  $\lambda = 632,8$  нм.

Существенным является тот факт, что  $\delta n(z)$  и  $\delta k(z)$  осциллируют по  $z$  с периодом  $d_0/2$ , где  $d_0 = \lambda/2\sqrt{|N_{cp}^2| - \sin^2\varphi}$  — интерференционный квазипериод;  $N_{cp}$  — некоторое среднее значение комплексного показателя преломления для неоднородного слоя. Такой характер зависимости  $\delta n$  и  $\delta k$  приводит к тому, что в расчетных профилях оптических постоянных появля-

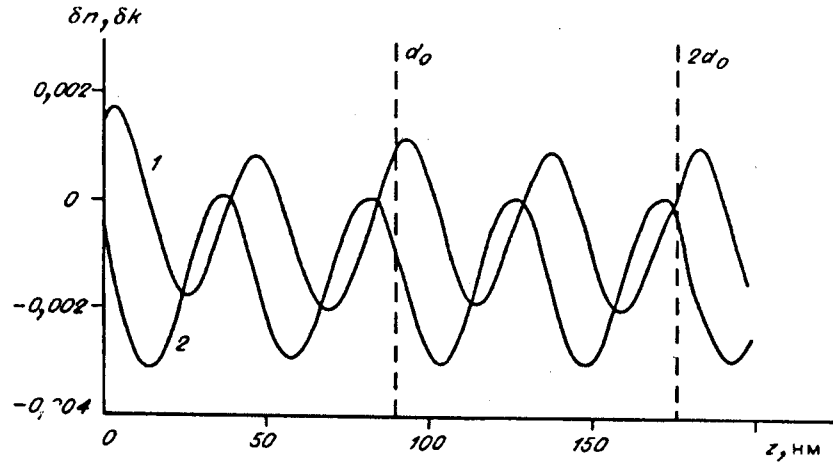


Рис. 1. Погрешности определения оптических постоянных —  $\delta n$  (кривая 1) и  $\delta k$  (кривая 2) — по толщине неоднородного слоя, обусловленные приближением метода: штриховыми линиями показаны границы квазипериодов

ется осциллирующая с периодом  $d_0/2$  составляющая, которая обусловлена рассматриваемым приближением и должна быть усреднена.

Полученный результат не является неожиданным. Для слабопоглощающих слоев  $\rho(z)$  — квазипериодическая функция с периодом  $d_0$ , а производные от  $\Delta$  по  $\xi$  обладают следующими свойствами:

$$\left. \frac{d\Delta}{d\xi} \right|_{z+d_0/2} \approx \left. \frac{d\Delta}{d\xi} \right|_z, \quad \left. \frac{d^2\Delta}{d\xi^2} \right|_{z+d_0/2} \approx - \left. \frac{d^2\Delta}{d\xi^2} \right|_z.$$

Отсюда следует, что функции  $G_1(N)$  и  $G_2(N, N')$ , а также их производные, фигурирующие в системе уравнений (7) в качестве коэффициентов при неизвестных, удовлетворяют таким же условиям. Нетрудно убедиться, что решения системы (7) —  $\delta n$  и  $\delta k$  — при этом будут квазипериодичны с периодом  $d_0/2$ .

**Численное моделирование.** Основываясь на вышеизложенных результатах, был организован алгоритм численного расчета профиля  $N(z)$ . Пусть  $\{\psi_j, \Delta_j\}$  ( $j = 0, 1, 2, \dots, K$ ) — последовательно измеренные при росте слоя значения эллипсометрических параметров, причем  $j = 0$  соответствует измерению на подложке. Согласно (5) и полагая  $N' = 0$ , запишем с точностью до членов разложения  $\sim (\xi_{j+2} - \xi_j)^2$ :

$$\begin{cases} \frac{\Delta_{j+2} - \Delta_j}{\xi_{j+2} - \xi_j} = G_1(N_{j,j+2}), \\ 2 \frac{(\Delta_{j+2} - \Delta_{j+1})(\xi_{j+1} - \xi_j) - (\Delta_{j+1} - \Delta_j)(\xi_{j+2} - \xi_{j+1})}{(\xi_{j+2} - \xi_j)(\xi_{j+2} - \xi_{j+1})(\xi_{j+1} - \xi_j)} = G_2(N_{j,j+2}, 0). \end{cases} \quad (8)$$

Здесь  $N_{j,j+2}$  — эффективное значение комплексного показателя преломления на интервале  $(z_j, z_{j+2})$  между  $j$ -м и  $j+2$ -м измерениями. Расчет начинается при  $j = 0$ , при этом входящие в  $G_1, G_2$  величины  $R_p$  и  $R_s$  соответствуют коэффициентам отражения подложки, которые известны или могут быть рассчитаны по измеренным параметрам  $\psi_0, \Delta_0$ . Численным решением системы (8) находим  $N_{0,2}$ . Толщина слоя между 0-м и 2-м измерениями  $\Delta_{2,0} = z_2 - z_0$  рассчитывается для данного  $N_{j,j+2}$  решением соответствующего квадратного уравнения [8]. После этого, используя соотношение (2), вычисляем значения

$R_p, R_s$  в точке  $z_2$ . Далее весь цикл повторяется для следующего интервала ( $z_2, z_4$ ) и т. д. по всей толщине неоднородного слоя.

Проверка вышеописанного алгоритма проводилась численным моделированием. Для конкретных профилей  $n(z), k(z)$  рассчитывались сначала зависимости эллипсометрических параметров  $\{\psi_j, \Delta_j\}$  путем разбиения неоднородного слоя на элементарные подслои с постоянными значениями  $n_j, k_j$  [6]. Угол падения света выбирался равным  $70^\circ$ , а длина волны  $\lambda = 632,8$  нм. Шаг разбиения составлял  $0,1$  нм и обеспечивал необходимую точность расчета эллипсометрических параметров. Затем из всей совокупности  $\{\psi_j, \Delta_j\}$  произвольным образом проводилась выборка отдельных пар, которые имитировали экспериментальные данные. Эти значения эллипсометрических параметров использовались для нахождения значений  $N_{j,j+2}$  и восстановления искомых профилей во всем исследуемом интервале.

На рис. 2, 3 представлены результаты таких расчетов для модельной ситуации роста пленки  $\text{Cd}_{1-x}\text{Hg}_x\text{Te}$  переменного состава на подложке  $\text{CdTe}$ . Изменение состава в пленке задавалось следующей зависимостью:

$$x(z) = \begin{cases} 0,2, & \text{если } z < 30 \text{ нм,} \\ 0,2 + 0,1(z - 30)/120, & \text{если } 30 < z < 150 \text{ нм,} \\ 0,3, & \text{если } z > 150 \text{ нм.} \end{cases}$$

Оптические постоянные твердых растворов кадмий-ртуть-теллура зависят от состава [9], и их распределение по толщине пленки, соответствующее данному  $x(z)$ , представлено на рисунках кривыми 1 (исходные профили). Рассчитанные по вышеописанному алгоритму зависимости  $n(z)$  и  $k(z)$  изображены кривыми 2. Как и ожидалось, эти кривые осциллируют по  $z$  с периодом  $d_0/2$ , поэтому было проведено сглаживание осцилляций и получены восстановленные профили  $n(z), k(z)$  (3), которые практически совпадают с исходными.

При расчетах выборка значений  $\{\psi_j, \Delta_j\}$  проводилась таким образом, чтобы получить разбиение всего слоя на участки по  $4$  нм. Уменьшение шага разбиения при фиксированной точности решения системы (8) приводит к «зашумлению» расчетных кривых аналогично тому, как это наблюдалось ранее в [6]. При увеличении интервалов разбиения требования к точности вычислений снижаются, однако при этом ухудшается разрешение профилей по  $z$ .

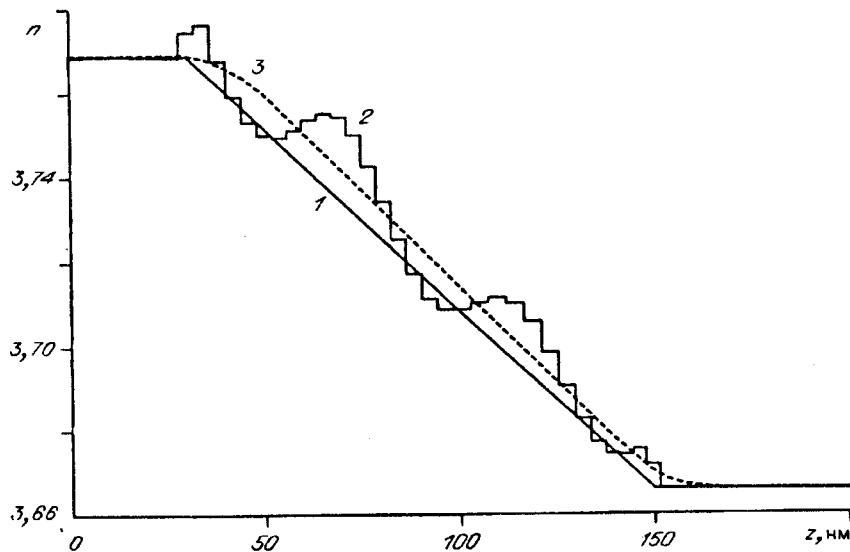


Рис. 2. Пленка  $\text{CdHgTe}$  на подложке  $\text{CdTe}$ .

Зависимость показателя преломления от толщины пленки: 1 - исходный, 2 - расчетный, 3 - сглаженный профили

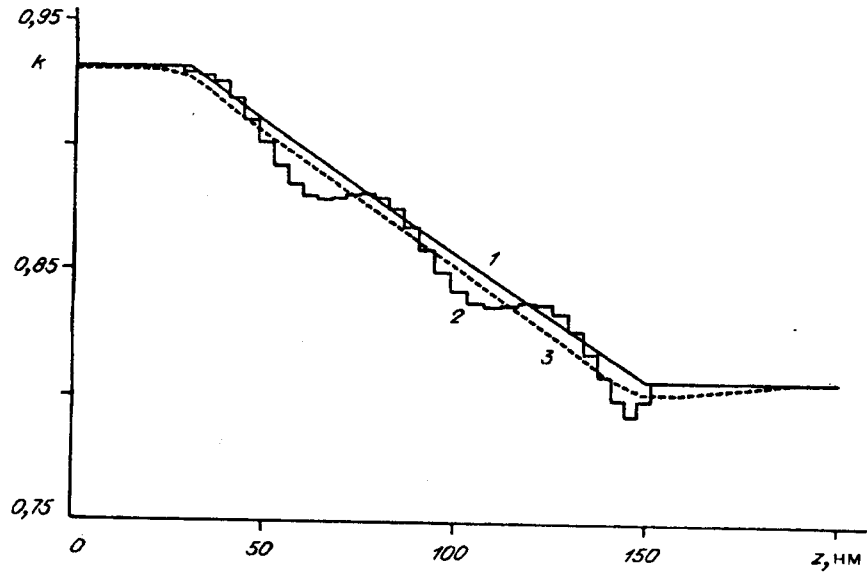


Рис. 3. Зависимость показателя поглощения пленки CdHgTe от ее толщины. Обозначения те же, что и на рис. 2

Второй пример модельных расчетов проведен для случая роста пленки AlGaAs на подложке GaAs. Оптические постоянные материалов в этом случае соответствуют температуре синтеза слоев ( $T = 650-700^\circ\text{C}$ ) [10] и для GaAs равны:  $n = 4,2$ ,  $k = 0,4$ , а их изменение в слое задано произвольным образом и описывается следующими соотношениями ( $z$  — в нанометрах):

$$n(z) = 4 + 0,05 \exp\left(\frac{z-100}{60}\right)^2, \quad k(z) = 0,2 - \frac{0,1}{1 + \exp((120 - z)/50)}$$

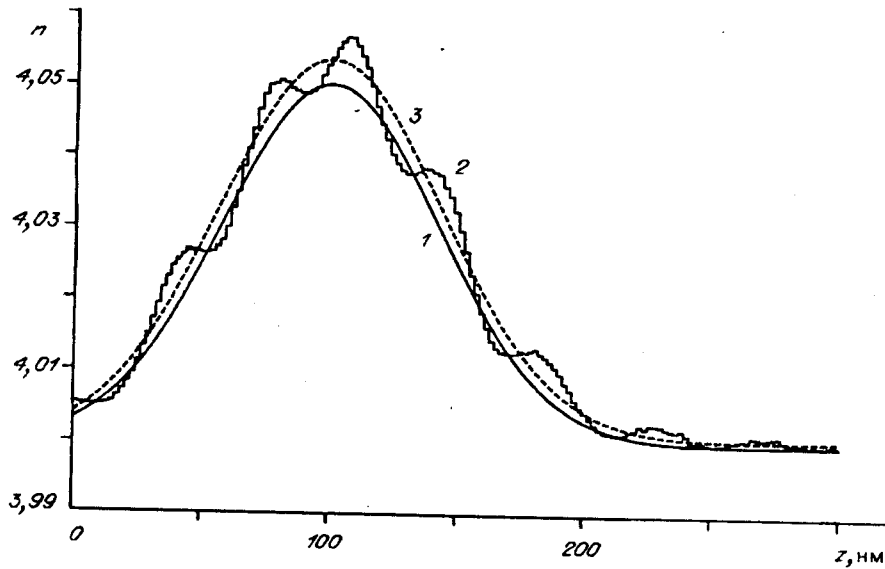


Рис. 4. Пленка GaAlAs на подложке GaAs. Зависимость показателя преломления по толщине слоя, обозначения те же, что и на рис. 2, 3

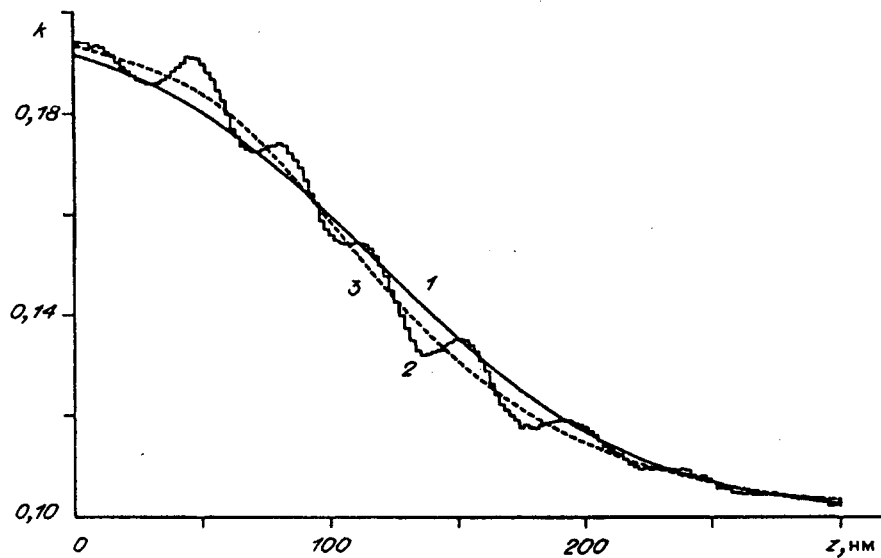


Рис. 5. Зависимость показателя поглощения пленки GaAlAs от ее толщины. Обозначения те же, что и на рис. 4

(рис. 4, 5, кривые 1). Соответствующая такой модели зависимость  $\{\psi, \Delta\}$  (аналог экспериментальных данных) представляет собой самопересекающуюся кривую спирального вида и изображена на рис. 6. Начальная точка кривой соответствует подложке GaAs, стрелкой показано направление изменения  $\psi, \Delta$  при увеличении  $z$ . Расчетные и сглаженные профили представлены на рис. 4, 5 кривыми 2, 3. Здесь также наблюдаются осцилляции в расчетных профилях, причем в соответствии с (8) их амплитуда зависит от градиентов оптических постоянных и в области  $z > 200$  нм, где  $n'$  и  $k'$  малы, осцилляции почти исчезают. Хорошее совпадение исходных и восстановленных профилей оптических постоянных свидетельствует об эффективности рассматриваемого алгоритма.

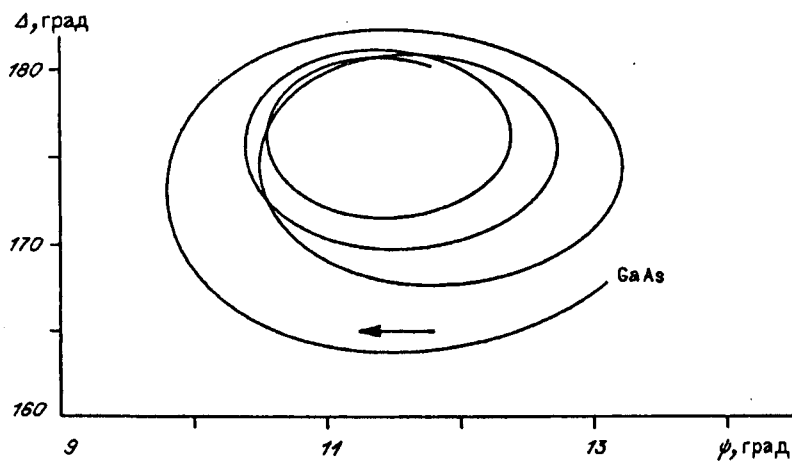


Рис. 6. Траектория изменения эллипсометрических параметров при росте слоя GaAlAs с оптическими постоянными, изображенными на рис. 4, 5: стрелкой показано направление изменений  $\psi, \Delta$  при увеличении толщины слоя

Остановимся на таком вопросе, как влияние случайных ошибок эксперимента на точность решения задачи. Анализ основных соотношений и численное моделирование позволяют утверждать, что точность определения  $N_{j,j+2}$  на некотором интервале зависит от ряда факторов, таких как:

— величины случайных ошибок эксперимента  $\delta\psi_i, \delta\Delta_i$  при  $i = j, j+1, j+2$  (интересно отметить, что ошибки  $\delta\psi_i, \delta\Delta_i$  при  $i < j$  практически не сказываются на величине  $N_{j,j+2}$ , т. е. накопления ошибок не происходит);

— плотность экспериментальных точек  $\{\psi_j, \Delta_j\}$  по толщине слоя: при более высокой плотности измерений случайная ошибка может быть уменьшена за счет усреднений;

— толщина данного интервала разбиения  $d_{j,j+2} = z_{j+2} - z_j$ .

Последний фактор непосредственно связан с требуемым разрешением профилей по  $z$ : если характерные размеры изменения кривых  $n(z), k(z)$  малы, необходимо более мелкое разбиение неоднородного слоя, и при фиксированной точности экспериментальных измерений это неизбежно приведет к увеличению ошибок нахождения оптических постоянных.

Для рассмотренных выше примеров характерна точность расчета профилей  $\delta\bar{n} = \delta\bar{k} = 0,001$  при погрешности эксперимента  $\delta\psi = \delta\Delta = 0,01^\circ$ , толщине разбиения 8 нм и плотности экспериментальных точек 0,25 измерений/нм. Эта точность не является предельной и может быть повышена, например, за счет увеличения плотности экспериментальных точек и интервалов разбиения.

**Заключение.** Представленные в работе математическое обоснование и модельные расчеты демонстрируют алгоритм, позволяющий определять профили оптических постоянных неоднородных слоев с малыми градиентами. При этом используются данные эллипсометрических измерений *in situ*, полученные в процессе формирования слоя. Существенно, что при этом не требуется никаких данных о толщине растущего слоя. Эти результаты могут оказаться полезными, например, при контроле процессов молекулярно-лучевой эпитаксии полупроводниковых слоев.

Следует отметить, что в данном рассмотрении все изменения эллипсометрических параметров связываются лишь с увеличением толщины неоднородного слоя. В реальном эксперименте на результаты измерений могут влиять также и другие факторы: развитие рельефа поверхности, зависимость оптических постоянных в слое от времени (например, за счет изменения температуры) и т. д. Очевидно, что в этом случае результаты расчетов будут нуждаться в коррекции.

#### СПИСОК ЛИТЕРАТУРЫ

1. Theeten J. B., Hottier F., Hallais J. Ellipsometric assesment of (Ga,Al)As/GaAs epitaxial layers during their growth in an organometallic VPE system // J. Cryst. Growth.—1979.—46.—P. 245.
2. Laurence G., Hottier F., Hallais J. Growth monitoring and characterization of (Al,Ga)As—GaAs heterostructures by ellipsometry // J. Cryst. Growth.—1981.—55.—P. 198.
3. Demay Y., Gaiffiard J. P., Medina P. *In situ* spectroscopic ellipsometry of mercury cadmium telluride MBE layers // J. Cryst. Growth.—1987.—81.—P. 97.
4. Мардезов А. С., Михайлов Н. Н., Швец В. А. Эллипсометрический контроль пред-эпитаксиальной подготовки подложек GaAs и роста эпитаксиальных пленок CdTe // Поверхность. Физика, химия, механика.—1990.—12.—С. 92.
5. Berlouis L. E. A., Peter L. M., Greef R., Astles M. G. *In-situ* spectroscopic characterization of passivation layers on (Cd,HgTe) // J. Cryst. Growth.—1992.—117.—P. 918.
6. Дагман Э. Е., Любинская Р. И., Мардезов А. С. и др. О решении обратной задачи эллипсометрии для неоднородных систем // УФЖ.—1984.—29, № 2.
7. Антонов В. А., Дронь О. С., Пшеницын В. И. Эллипсометрия неоднородных поверхностных слоев и пленок // Эллипсометрия — метод исследования поверхности.—Новосибирск: Наука, 1983.
8. Аззам Р., Башара Н. Эллипсометрия и поляризованный свет.—М.: Мир, 1981.



9. McLevige W. V., Arias J. M., Edwall D. D., Johnston S. L. Ellipsometric profiling of HgCdTe heterostructures // J. Vac. Sci. Technol.—1991.—B9(5).—P. 2483.
10. Kawai H., Imanaga S., Kaneko K., Watanabe N. Complex refractive indices of AlGaAs at high temperatures measured by *in situ* reflectometry during growth by metalorganic chemical vapor deposition // J. Appl. Phys.—1987.—61, N 1.—P. 328.

*Поступила в редакцию 20 мая 1993 г.*

---

---

---

**Реклама продукции в нашем журнале — залог Вашего успеха!**